

◆本文引用:漆辉雄,刘灿,李泉,等.靶向肿瘤血管磁共振对比剂的制备及体外显像研究[J].新乡医学院学报,2014,31(3):187-190,194.

## 【基础研究】

# 靶向肿瘤血管磁共振对比剂的制备及体外显像研究

漆辉雄<sup>1</sup>, 刘 灿<sup>2</sup>, 李 泉<sup>1</sup>, 胡国清<sup>3</sup>

(1. 襄阳市中心医院肿瘤科,湖北 襄阳 441021;2. 武汉市普爱医院肿瘤科,湖北 武汉 430032;3. 华中科技大学同济医学院附属同济医院肿瘤科,湖北 武汉 430032)

**摘要:** 目的 制备针对肿瘤新生血管的靶向纳米磁共振(MR)对比剂,并用高场强MR检测其体外显像能力。**方法** 通过碳二亚胺法将超小型超顺磁性氧化铁(USPIO)与环精氨酸-甘氨酸-天冬氨酸(RGD)肽连接。普鲁士蓝染色检测环RGD肽-超小型超顺磁性氧化铁复合物(RGD-USPIO)针对整合素 $\alpha_v\beta_3$ 的特异性及靶向性。原子吸收分光光度计检测人脐静脉内皮细胞(HUVEC)对RGD-USPIO的摄取量变化。透射电镜检测RGD-USPIO的亚细胞定位。4.7 T MR检测不同时间梯度HUVEC摄取RGD-USPIO及单纯USPIO引起MR T<sub>2</sub>值的变化。**结果** RGD-USPIO可特异性结合 $\alpha_v\beta_3$ ,具有良好的靶向性,HUVEC摄取的RGD-USPIO主要位于细胞内,并可引起MR T<sub>2</sub>信号强度明显下降,与USPIO组比较差异有统计学意义( $P<0.05$ )。**结论** RGD-USPIO可特异性地与高表达整合素 $\alpha_v\beta_3$ 的HUVEC结合,明显降低高场强MR T<sub>2</sub>值,是一种具有前景的靶向MR对比剂。

**关键词:** 分子显像;肿瘤;对比剂;内皮细胞;氧化铁

中图分类号: R981 文献标志码: A 文章编号: 1004-7239(2014)03-0187-05

## Design and *in vitro* experiment of magnetic resonance contrast agent targeted tumor vessel

QI Hui-xiong<sup>1</sup>, LIU Can<sup>2</sup>, LI Quan<sup>1</sup>, HU Guo-qing<sup>3</sup>

(1. Department of Oncology, the Central Hospital of Xiangyang City, Xiangyang 441021, Hubei Province, China; 2. Department of Oncology, Pu'ai Hospital of Wuhan City, Wuhan 430032, Hubei Province, China; 3. Department of Oncology, Tongji Hospital, Tongji Medical College of Huazhong University of Science & Technology, Wuhan 430032, Hubei Province, China)

**Abstract:** **Objective** To design a targeted nanoconjugate magnetic resonance (MR) contrast agent for neovessels of tumor and detect its imaging capability with high field intensity MR. **Methods** The ultrasmall superparamagnetic iron oxide particles (USPIO) was conjuncted with cyclic Arg-Gly-Asp (RGD) peptide by carbodiimide method. The specificity and targeting ability for  $\alpha_v\beta_3$ -integrin were detected by prussian blue staining. The uptake capability of RGD-USPIO by human umbilical vein endothelial cells (HUVEC) was detected with atomic absorption spectrophotometer. The subcellular localization of RGD-USPIO was detected by transmission electron microscopy. The change of T<sub>2</sub> relaxation time caused by the uptake of RGD-USPIO and pure USPIO by HUVEC in different time gradient was detected by 4.7 T MR. **Results** RGD-USPIO could specific binding to  $\alpha_v\beta_3$ , with good targeting ability. The uptake of RGD-USPIO by HUVEC was most located intra-cellular, which could significantly reduce the T<sub>2</sub> relaxation time of MR imaging, the difference was significant compared with USPIO ( $P<0.05$ ). **Conclusion** RGD-USPIO is a perspective MR contrast enhancement agent, which can specific binding to HUVEC and overexpress  $\alpha_v\beta_3$ -integrin and significantly reduce the T<sub>2</sub> relaxation time of high field intensity MR maging.

**Key words:** molecular imaging; cancer; contrast agent; endothelial cells; iron oxide

整合素是一组广泛分布于细胞表面的跨膜糖蛋白受体,由 $\alpha$ 亚基和 $\beta$ 亚基组成,其中 $\alpha_v\beta_3$ 是由 $\alpha_v$ 亚基 $\beta_3$ 亚基形成的跨膜异二聚体糖蛋白。 $\alpha_v\beta_3$ 在肿瘤新生血管内皮细胞及多种肿瘤细胞均呈高表达,而在成熟血管内皮细胞和绝大多数正常器官细胞,几

乎不表达或表达非常低<sup>[1]</sup>。 $\alpha_v\beta_3$ 能识别配体分子中的精氨酸-甘氨酸-天冬氨酸(Arg-Gly-Asp, RGD)序列,有研究显示环RGD肽与 $\alpha_v\beta_3$ 的亲和力更高,是线性RGD肽的30倍<sup>[2]</sup>。目前多数研究采用放射性核素标记RGD肽。*von Wallbrunn*等<sup>[3]</sup>用荧光染料Cy 5.5标记的环RGD肽检测黑色素瘤细胞(M21)、人纤维肉瘤细胞(HT-1080细胞)( $\alpha_v\beta_3$ 阳性)裸鼠移植瘤 $\alpha_v\beta_3$ 的表达水平,用 $\alpha_v\beta_3$ 表达阴性的乳腺癌细胞(MCF-7)作为对照,结果显示RGD-Cy 5.5能有效检测肿瘤周边 $\alpha_v\beta_3$ 水平。但由于其在体内分布不

DOI: 10.7683/xxxyxb.2014.03.007

收稿日期:2013-08-21

作者简介:漆辉雄(1981-),男,湖北襄阳人,硕士,主治医师,主要从事肿瘤放射治疗和化学治疗研究。

通信作者:李 泉(1974-),女,湖北武汉人,博士,副主任医师,主要从事肿瘤放射治疗和化学治疗工作。

均并具有放射性,限制了进一步临床应用。因此,开发无创无毒的磁共振(magnetic resonance, MR)对比剂来进行肿瘤或肿瘤血管显像是目前研究的主要方向。相比超顺磁性氧化铁纳米颗粒(superparamagnetic iron oxide, SPIO),超小型超顺磁性氧化铁纳米颗粒(ultrasmall superparamagnetic iron oxide particles, USPIO)其粒径更小,在体内半衰期更长,并且在体内更加容易通过血管内皮进入组织间隙<sup>[4]</sup>。本实验拟制备RGD-USPIO复合物,采用4.7 T MR对 $\alpha_v\beta_3$ 表达阳性的脐静脉内皮细胞(human umbilical vein endothelial cells, HUVEC)进行体外显像实验,探讨该复合物与 $\alpha_v\beta_3$ 的亲和力,并进行体外靶向MR显像,为制备出针对肿瘤新生血管的有效靶向对比剂提供理论依据。

## 1 材料与方法

**1.1 主要试剂与仪器** HUVEC 和 MCF-7 细胞由华中科技大学同济医学院附属同济医院肿瘤中心提供,USPIO(TANBead USPIO-101, 表面包被氨基, 直径6~10 nm, 铁浓度10 g·L<sup>-1</sup>, pH值3.8±0.5, Taiwan Advanced Nanotech公司,中国),环RGD肽[cyclo(Arg-Gly-Asp-D-Phe-Glu)](美国Peptides International公司),1-乙基-(3-二甲基氨基丙基)碳二亚胺盐酸盐[1-(3-dimethylaminopropyl)-3-ethylcarbodiimide hydrochloride, EDC·HCl]、N-羟基琥珀酰亚胺(N-hydroxysuccinimide, NHS)(中国,阿拉丁试剂公司),无水吗啉乙磺酸[2-(N-morpholino)ethanesulfonic acid, MES](中国Biosharp公司),明胶、核固红(中国武汉博士德公司),1640培养基、新生小牛血清(美国Gibco公司),胰蛋白酶、乙二胺四乙酸(ethylene diamine tetraacetic acid, EDTA)(美国Amresco公司),亚铁氰化钾(中国天津化学试剂厂),标准铁溶液(GBW08616, 1 000 mg·L<sup>-1</sup>)(中国国家标准物质研究中心),超微透射电镜(transmission electron microscopy, TEM)(荷兰FEI电子光学有限公司),原子吸收光谱仪(SPECTR AA-240FS)(美国Varian公司),4.7 T/30 cm 小动物MR成像仪(德国Bruker公司)。

**1.2 USPIO与环RGD连接** 取EDC·HCl 0.6 mg, NHS 1.2 mg, 加入1 mL MES(pH 6.0), 充分混匀后取混合物0.3 mL, 将环RGD 500 μg加入上述混合物中室温15 min, 取USPIO 2 mL, 加2 mL磷酸盐缓冲液(phosphate buffered saline, PBS)充分混匀后进行磁性分离, 弃上清后将RGD溶液加入USPIO中, 室温反应4 h, 将反应物置于磁性分离器上

5 min, 弃上清, 加入PBS 5 mL, 得到铁离子浓度为15 mmol·L<sup>-1</sup>的RGD-USPIO复合物。在复合物中加入4.16 g·L<sup>-1</sup>柠檬酸和60 g·L<sup>-1</sup>甘露醇作为稳定剂, 配好后置于4℃冰箱保存备用。

**1.3 TEM检测RGD-USPIO** 取RGD-USPIO复合物50 μL加入150 μL去离子水中, 充分混匀后滴片、干燥处理后, TEM检测其粒径及分布情况。

**1.4 细胞培养** HUVEC 和 MCF-7 细胞均在含体积分数5% CO<sub>2</sub> 培养箱中培养, 在75 cm<sup>2</sup> 的培养瓶中加入10 mL含体积分数10% 小牛血清的1640培养基, 隔天换液, 当细胞铺满培养瓶底时, 用PBS洗2次, 加入胰蛋白酶37℃消化10 min, 使细胞从培养板分离, 轻轻吹打细胞, 得到细胞悬液进行传代, 当细胞处于对数生长期时进行试验, 用0.9 mm<sup>3</sup> 细胞计数器计数。

**1.5 普鲁士蓝染色检测HUVEC对环RGD-USPIO的摄取情况及环RGD-USPIO的特异性、靶向性** 取8个直径为60 mm的培养皿, 置入盖玻片, 其中7个培养皿中加入约1×10<sup>4</sup>个HUVEC, 另1个培养皿加入1×10<sup>4</sup>个MCF-7细胞, 每皿均加入培养基5 mL, 置于培养箱培养至细胞铺满盖玻片。HUVEC组中3个培养皿中加入USPIO溶液, 另3个培养皿中加入RGD-USPIO溶液, 取1皿作为空白对照, 不加任何物质。MCF-7细胞中加入RGD-USPIO溶液。使每皿铁离子浓度为0.03 mmol·L<sup>-1</sup>, HUVEC组培养15、30、120 min, MCF-7细胞组培养30 min。随后将盖玻片从培养箱中取出, PBS充分冲洗, 冰丙酮溶液固定5 min, PBS冲洗2次, 浓盐酸10 mL、质量分数10%的亚铁氰化钾2 mL配好的工作液滴加在载玻片上, 室温孵育30 min, PBS充分冲洗, 核固红避光复染2 min, 自来水冲洗, 置于显微镜观察细胞表面蓝染颗粒分布情况。另取9个直径为60 mm的培养皿, 置入盖玻片, 每个培养皿中加入约1×10<sup>4</sup>个HUVEC, 培养基5 mL, 置于培养箱培养至细胞铺满盖玻片。3个培养皿中加入USPIO溶液, 3个培养皿中加入RGD-USPIO溶液, 另3皿先加入过量环RGD肽, 随后加入同样浓度RGD-USPIO, 使每皿铁离子浓度为0.03 mmol·L<sup>-1</sup>, 分别培养15、30、120 min。用5 mL EP管收集细胞, 调节至每管约1×10<sup>5</sup>个细胞, 将EP管置于超声振荡器中15 min, 然后用火焰原子吸收光谱法检测每管内铁含量。

**1.6 RGD-USPIO复合物对4.7 T MR T<sub>2</sub>值影响**

HUVEC分别与USPIO和RGD-USPIO培养15、30、120 min后收集细胞悬液滴入液态明胶中, 待明

胶变成固态后,用4.7 T MR仪检测。参数如下: $T_1$ :TR=400 ms, TE=13.5 ms, NA=2, matrix=128×128, slice thickness=1 mm, FOV=3.5 cm×3.5 cm; $T_2$ :TR=3 500 ms, TE=40 ms, 480~800 ms(12个回波), NA=2, matrix=128×128, slice thickness=1 mm, FOV=3.5 cm×3.5 cm。

**1.7 HUVEC 摄取 RGD-USPIO 后亚细胞定位** 在HUVEC细胞培养基中分别加入RGD-USPIO溶液和USPIO溶液,使铁离子浓度为 $0.03 \text{ mmol} \cdot \text{L}^{-1}$ ,培养箱中培养1 h后收集细胞,戊二醛固定4 h,进行超微切片,置于超微透射电镜观察。

**1.8 统计学处理** 应用SPSS 13.0统计学软件进行数据分析,计量资料以均数±标准差( $\bar{x} \pm s$ )表示,组间比较采用t检验, $P < 0.05$ 为差异有统计学意义。

## 2 结果

**2.1 RGD-USPIO 纳米复合物电镜检测结果** 连接后的USPIO分散程度较单独USPIO稍差,部分有聚集现象,其粒径分布为6~10 nm(图1)。

**2.2 HUVEC 摄取 RGD-USPIO 及其特异性** HUVEC培养皿中分别加入USPIO、RGD-USPIO,随着培养时间延长,HUVEC摄取纳米颗粒逐渐增多,

15 min后RGD-USPIO组即可见细胞周围有蓝染铁颗粒存在(图2A),30、120 min后RGD-USPIO组细胞周围可见大量蓝染铁颗粒(图2B,C),而单纯USPIO组15 min后细胞周围未见铁颗粒(图2D),30、120 min后USPIO组细胞周围可见少许铁颗粒(图2E,F)。用不表达 $\alpha_1\beta_3$ 的MCF-7细胞与RGD-USPIO相同条件下培养30 min后行普鲁士蓝染色,细胞周围未见铁颗粒(图2H)。

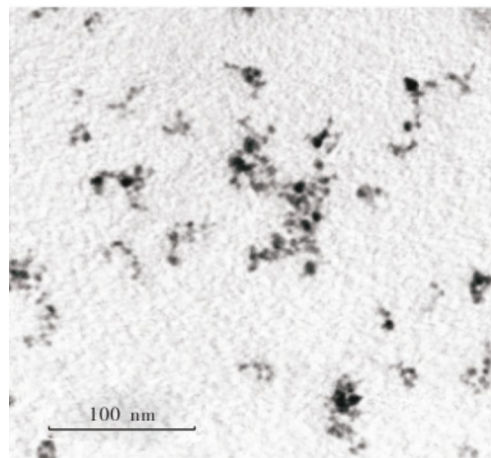
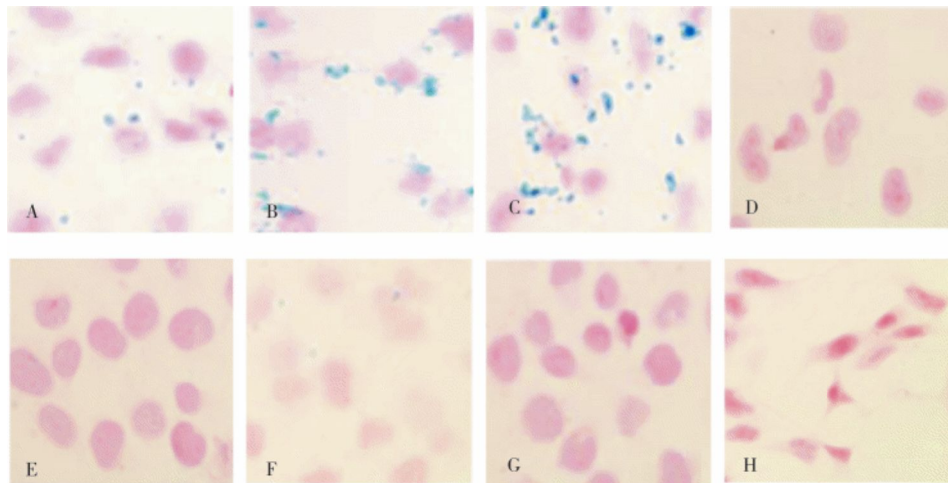


图1 连接后的RGD-USPIO,颗粒直径6~10 nm

Fig.1 Diameter of RGD-USPIO particle was 6~10 nm after connection



A: RGD-USPIO组培养15 min; B: RGD-USPIO组培养30 min; C: RGD-USPIO组培养120 min; D: USPIO组培养15 min; E: USPIO组培养30 min; F: USPIO组培养120 min; G: 空白对照; H: MCF-7组培养30 min。

图2 HUVEC 摄取 RGD-USPIO 情况及其特异性(普鲁士蓝染色,  $\times 400$ )

Fig.2 Uptake of RGD-USPIO by HUVEC and its specificity(prussian staining,  $\times 400$ )

**2.3 RGD-USPIO 靶向性** HUVE培养皿中分别加入USPIO、RGD-USPIO及RGD→RGD-USPIO进行培养。RGD-USPIO组各时间段细胞铁含量明显高于单纯USPIO组( $P < 0.05$ ),RGD-USPIO组各时间段细胞铁含量明显高于RGD→RGD-USPIO组( $P < 0.05$ );见表1。

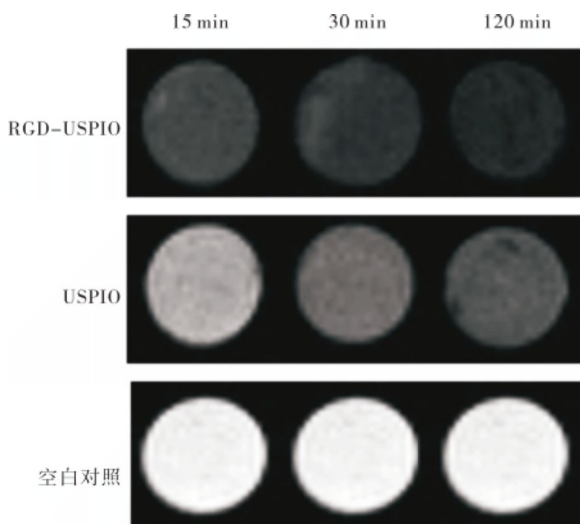
**2.4 RGD-USPIO 复合物对4.7 T MR  $T_2$ 值影响**

HUVEC分别与USPIO和RGD-USPIO培养15、30、120 min后收集细胞,用4.7 T MR检测,以去离子水作为对照,随着时间延长,RGD-USPIO组信号逐渐降低,USPIO组有逐渐减低趋势,考虑细胞吞噬作用所致(图3)。培养15、30、120 min时,USPIO组 $T_2$ 值均高于RGD-USPIO,差异有统计学意义( $P < 0.05$ );见表2。

**表1 不同时间段 HUVEC 铁含量****Tab.1 Iron content of HUVEC in different time gradient**

组别	(x±s)		
	15 min	30 min	120 min
USPIO 组	0.090±0.003	0.160±0.008	0.280±0.006
RGD-USPIO 组	0.350±0.007 <sup>a</sup>	0.520±0.005 <sup>a</sup>	0.610±0.003 <sup>a</sup>
RGD→RGD-USPIO 组	0.150±0.008 <sup>b</sup>	0.310±0.006 <sup>b</sup>	0.510±0.007 <sup>b</sup>

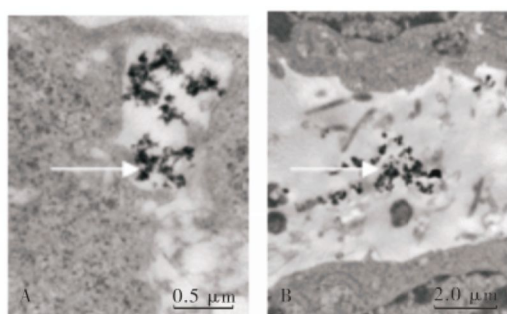
注:与 USPIO 组比较<sup>a</sup>P<0.05;与 RGD-USPIO 组比较<sup>b</sup>P<0.05。

**图3 RGD-USPIO 复合物对 4.7 T MR T<sub>2</sub> 值影响****Fig.3 Effect of RGD-USPIO on the T<sub>2</sub> relaxation time of 4.7 T MR****表2 HUVEC 与 USPIO、RGD-USPIO 培养后不同时间段 T<sub>2</sub> 值的比较****Tab.2 T<sub>2</sub> values in different time gradient after HUVEC cultured with USPIO and RGD-USPIO (x±s)**

组别	T <sub>2</sub> 值/ms		
	15 min	30 min	120 min
USPIO 组	142.0±8.7	125.0±9.2	98.0±11.5
RGD-USPIO 组	108.1±11.2 <sup>a</sup>	80.0±8.2 <sup>a</sup>	65.0±10.3 <sup>a</sup>

注:与 USPIO 组比较<sup>a</sup>P<0.05。

**2.4 RGD-USPIO 亚细胞定位** 结果见图 4。RGD-USPIO 组大量纳米颗粒聚集于细胞内,而 USPIO 组纳米颗粒主要聚集在细胞间隙。



A: RGD-USPIO 组; B: USPIO 组。

**图4 RGD-USPIO 亚细胞定位****Fig.4 Subcellular localization of RGD-USPIO**

### 3 讨论

目前临床广泛使用的 MR 对比剂多为顺磁性对比剂,主要缩短 T<sub>1</sub> 弛豫时间。本实验采用碳二亚胺法制备的超顺磁性 MR 对比剂 RGD-USPIO,主要缩短 T<sub>2</sub> 弛豫时间,能针对肿瘤新生血管进行显像,其靶向性及特异性与目前文献报道相关实验结果基本一致,但相关实验大多采用 1.5 T 或 3.0 T MR 进行检测<sup>[5-6]</sup>,较少采用更高场强 MR 进行实验,更高场强的 MR 就意味着更好的图像质量这一观点已得到证实<sup>[7]</sup>,Zhang<sup>[8]</sup> 和 Jiang 等<sup>[9]</sup> 将环 RGD 肽与 USPIO 进行连接,用 1.5 T MR 针对 α<sub>v</sub>β<sub>3</sub> 进行显像,清楚地显示肿瘤新生血管及 α<sub>v</sub>β<sub>3</sub> 表达阳性的肿瘤细胞。后来该实验组成员尝试用 3.0 T MR 对肿瘤血管进行显像,在小动物体内得到更高的图像信噪比,使得显像更为清楚。本实验采用更高场强的 4.7 T MR 对制备的 RGD-USPIO 对比剂进行体外显像,亦取得了较好结果,虽然未能同时与 3.0 T MR 进行对比,但能证实 4.7 T MR 进行实验的可行性。

本实验选用的 USPIO 表面包被氨基,直径 6~10 nm,已被广泛用于临床及实验<sup>[10-12]</sup>。环 RGD 肽 [c(RGDIFE)] 为商业化多肽,较线性 RGD 肽有更好的稳定性,与 α<sub>v</sub>β<sub>3</sub> 亲和力更高<sup>[2]</sup>。本研究利用碳二亚胺法将氨基与环 RGD 肽羧基基团连接,连接过程中有可能会出现基团的错误连接,导致 RGD-USPIO 复合物的特异性及靶向性受到影响,但实验证明,本研究所得到的 RGD-USPIO 复合物仍有很好的特异性及靶向性。为了证实其靶向性,本研究以不表达 α<sub>v</sub>β<sub>3</sub> 的 MCF-7 细胞作为对照进行实验,与 RGD-USPIO 培养 30 min 后,MCF-7 细胞表面未见蓝染颗粒,而 RGD-USPIO 组 HUVEC 细胞表面在培养 15 min 后即有大量蓝染颗粒。其特异性通过利用单纯 RGD 肽竞争性抑制 HUVEC 表面 α<sub>v</sub>β<sub>3</sub> 位点后,再加入 RGD-USPIO,显示加入单纯 RGD 肽后,HUVEC 表面蓝染颗粒明显减少,充分体现其具有良好的特异性。这一点通过检测细胞内铁含量进行量化,得到了同样的结果。细胞超微结构更直观地说明其良好的靶向性,实验过程中发现,随着时间的延长,单纯 USPIO 组细胞表面也可见蓝染颗粒,考虑为细胞的胞吞作用所致,并不能因此说明 RGD-USPIO 特异性欠佳。

以肿瘤新生血管为靶点进行显像有非常重要的临床意义<sup>[13]</sup>。首先,肿瘤新生血管主要位于肿瘤周边,利用这一特点,有利于在肿瘤精确放射治疗中对肿瘤边界精确定位。同时,对恶性肿瘤的诊断也有一

(下转第 194 页)

综上所述, MCM5 是一种较可靠的细胞增殖标志物, 能够较准确地反映细胞的增殖活性。MCM5 表达的增高不但标志着恶性细胞的增殖, 而且也标志着潜在恶性细胞的增生; 不但可以作为一种比较可靠的胃癌细胞的标志物, 也可辅助诊断癌前病变。

### 参考文献:

- [1] Maiorano D, Lutzmann M, Mechali M. MCM proteins and DNA replication [J]. *Curr Opin Cell Biol*, 2006, 18 (2): 130-136.
- [2] Schaarschmidt D, Ladenburger E M, Keller C, et al. Human MCM proteins at a replication origin during the G<sub>1</sub> to S phase transition [J]. *Nucleic Acids Res*, 2002, 30 (19): 4176-4185.
- [3] Stoeber K, Tlsty T D, Happerfield L, et al. DNA replication licensing and human cell proliferation [J]. *J Cell Sci*, 2001, 114 (Pt 11): 2027-2041.
- [4] Giagnis C, Georgiadou M, Dimakopoulou K, et al. Clinical significance of MCM2 and MCM5 expression in colon cancer: association with clinicopathological parameters and tumor proliferative capacity [J]. *Dig Dis Sci*, 2009, 54 (2): 282-291.
- [5] Steere N A, Yamaguchi S, Andrews C A, et al. Functional screen of human MCM2-7 variant alleles for disease-causing potential [J]. *Mutat Res*, 2009, 666 (1/2): 74-78.
- [6] Lei M, Tye B K. Initiating DNA synthesis: from recruiting to activating the MCM complex [J]. *J Cell Sci*, 2001, 114 (Pt 8): 1447-1454.
- [7] Labib K, Terecro J A, Difley J F. Uninterrupted MCM2-7 function required for DNA replication fork progression [J]. *Science*, 2000, 288 (5471): 1643-1647.
- [8] Snyder M, He W, Zhang J J. The DNA replication factor MCM5 is essential for Stat1-mediated transcriptional activation [J]. *Proc Natl Acad Sci USA*, 2005, 102 (41): 14539-14544.
- [9] Guida T, Salvatore G, Faviana P, et al. Mitogenic effects of the up-regulation of minichromosome maintenance proteins in anaplastic thyroid carcinoma [J]. *J Clin Endocrinol Metab*, 2005, 90 (8): 4703-4709.
- [10] Sirieix P S, Donovan M, Brown J, et al. Surface expression of minichromosome maintenance proteins provides a novel method for detecting patients at risk for developing adenocarcinoma in Barrett's esophagus [J]. *Clin Cancer Res*, 2003, 9 (7): 2560-2566.
- [11] Stoeber K, Swinn R, Prevost A T, et al. Diagnosis of genito-urinary tract cancer by detection of minichromosome maintenance 5 protein in urine sediments [J]. *J Natl Cancer Inst*, 2002, 94 (14): 1071-1079.

(本文编辑:杨博 英文编辑:杨博)

### (上接第 190 页)

定价值。其次, 对肿瘤治疗疗效评价有重要利用价值, 特别是对抗肿瘤血管生成药物的疗效评价, 是其他评价手段无法比拟的。本研究设计的针对肿瘤新生血管的靶向 MR 造影剂在体外具有良好的稳定性、靶向性及特异性, 但尚需进一步实验观察其在体内的稳定性。

### 参考文献:

- [1] Folkman J. Addressing tumor blood vessels [J]. *Nature Biotechnol*, 1997, 15 (6): 510.
- [2] Bogdanowich-Knipp S J, Chakrabarti S, Williams T D, et al. Solution stability of linear vs cyclic RGD peptides [J]. *J Pept Res*, 1999, 53 (5): 530-541.
- [3] von Wallbrunn A, Höltke C, Zühlendorf M, et al. *In vivo* imaging of integrin alpha v beta 3 expression using fluorescence-mediated tomography [J]. *Eur J Nucl Med Mol Imaging*, 2007, 34 (5): 745-754.
- [4] Tsuchiya K, Nitta N, Sonoda A, et al. Histological study of the biodynamics of iron oxide nanoparticles with different diameters [J]. *Int J Nanomedicine*, 2011, 6: 1587-1594.
- [5] Burrell J S, Walker-Samuel S, Baker L C, et al. Investigating temporal fluctuations in tumor vasculature with combined carbogen and ultrasmall superparamagnetic iron oxide particle (USPIO) imaging [J]. *Magn Reson Med*, 2011, 66 (1): 227-234.
- [6] Wu G, Wang X, Deng G, et al. Novel peptide targeting integrin

$\alpha_v\beta_3$ -rich tumor cells by magnetic resonance imaging [J]. *J Magn Reson Imaging*, 2011, 34 (2): 395-402.

- [7] Heidemann R M, Griswold M A, Müller M, et al. Feasibilities and limitations of high field parallel MRI [J]. *Radiolge*, 2004, 44 (1): 49-55.
- [8] Zhang C, Jugold M, Woenne E C, et al. Specific targeting of tumor angiogenesis by RGD-conjugated ultrasmall superparamagnetic iron oxide particles using a clinical 1.5-T magnetic resonance scanner [J]. *Cancer Res*, 2007, 67 (4): 1555-1562.
- [9] Jiang T, Zhang C, Zheng X, et al. Noninvasively characterizing the different  $\alpha_v\beta_3$  expression patterns in lung cancers with RGD-USPIO using a clinical 3.0 T MR scanner [J]. *Int J Nanomedicine*, 2009, 4: 241-249.
- [10] Froehlich J M, Triantafyllou M, Fleischmann A, et al. Does quantification of USPIO uptake-related signal loss allow differentiation of benign and malignant normal-sized pelvic lymph nodes [J]. *Contrast Media Mol Imaging*, 2012, 7 (3): 346-355.
- [11] Chang M, Hsiao J K, Yao M, et al. Homologous RBC-derived vesicles as ultrasmall carriers of iron oxide for magnetic resonance imaging of stem cells [J]. *Nanotechnology*, 2010, 21 (23): 235103.
- [12] Green D A, Durand M, Gumpeni N, et al. Role of magnetic resonance imaging in bladder cancer: current status and emerging techniques [J]. *BJU Int*, 2012, 110 (10): 1463-1470.
- [13] Ungersma S E, Pacheco G, Ho C, et al. Vessel imaging with viable tumor analysis for quantification of tumor angiogenesis [J]. *Magn Reson Med*, 2010, 63 (6): 1637-1647.

(本文编辑:杨博 英文编辑:杨博)